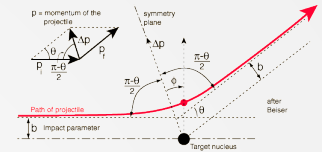


Oddziaływanie Promieniowania Jonizującego z Materią

Tomasz Szumlak, A.Obłąkowska-Mucha

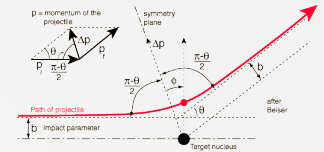
WFiIS AGH-UST Kraków

Intro (I)



- ❑ **Detekcja** dowolnego typu **promieniowania** opiera się na fakcie, że promieniowanie to **deponuje** (traci) **energię** w materiale czynnym detektora.
- ❑ Energia zdeponowana w obszarze aktywnym może prowadzić do produkcji **nośników ładunku** (np. par elektron-jon lub elektron-dziura).
- ❑ Nośniki ładunku są źródłem sygnału w elektronice odczytu.
- ❑ **Działanie** dowolnego **układu detekcyjnego** opiera się więc na tym w jaki sposób promieniowanie **oddziałuje** z jego częścią **aktywną** (np. sensory krzemowe w detektorach śladowych).
- ❑ Inaczej - zrozumienie odpowiedzi danego typu detektora związane jest z **fundamentalnymi mechanizmami oddziaływania cząstek promieniowania z materią**.
- ❑ Pamiętajmy – bez względu na naturę oddziaływania, które prowadzi do strat energii cząstek promieniowania nasza wiedza o tym co zaszło oparta jest o **sygnały elektryczne** mierzone przez elektronikę odczytu!

Intro (II)

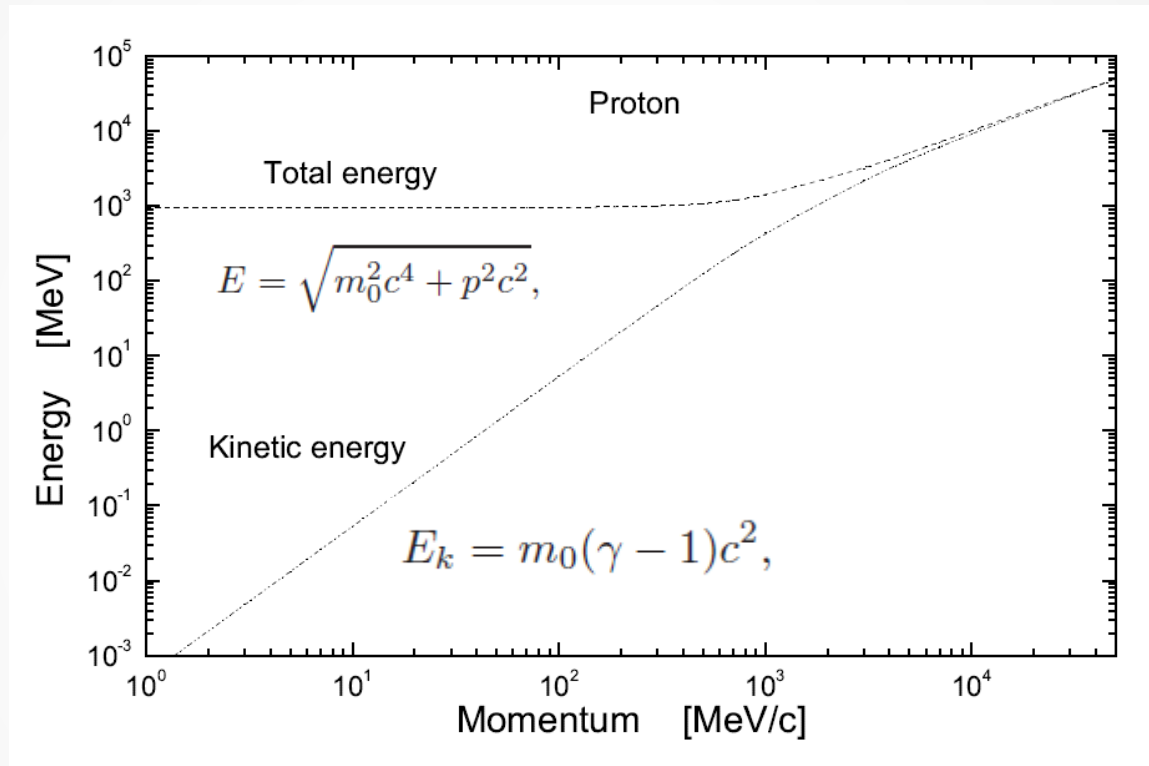
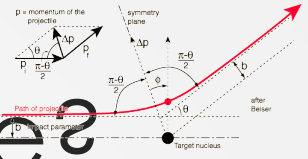


- ❑ Mechanizm oddziaływania **promieniowania** z materią zależy w pierwszym rzędzie od **jego typu**, możemy wprowadzić poniższy ogólny podział:

- ❑ Strumienie cząstek **naładowanych (jakie źródła?)**
 - Ciężkie cząstki naładowane
 - Szybkie elektrony

- ❑ Strumienie cząstek **obojętnych (źródła?)**
 - Neutrony
 - Fotony – promieniowanie X i γ

Intro (IIb) Relatywistyczne?

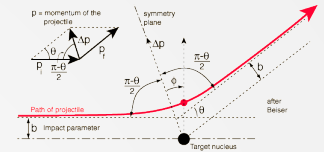


$$\vec{p} = \vec{\beta} \gamma m_0 c$$

$$p = \frac{\sqrt{E_k (E_k + 2m_0 c^2)}}{c}$$

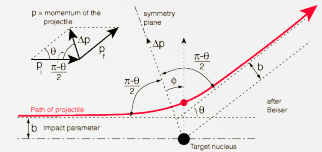
zadanie!

Intro (III)



- ❑ W przypadku **cząstek naładowanych** - mogą one oddziaływać elektromagnetycznie (**E.M.**):
 - ❑ z **elektronami atomów** materiału czynnego aparatury detekcyjnej (oddziaływania z jądrami można zaniedbać) – **strata energii**
 - ❑ z **jądrami atomowymi** – straty energii pomijalnie małe, ale duży wpływ **na zmianę kierunku**
- ❑ **Cząstki obojętne** muszą najpierw ulec **pewnemu procesowi**, na skutek którego nastąpi **częściowe lub całkowite** przekazanie ich energii elektronom, jądrom atomowym lub fragmentom jąder.
 - ❑ Inaczej powiemy, że **detekcja cząstek obojętnych** opiera się o ich zdolność do produkcji **naładowanych cząstek wtórnych**!

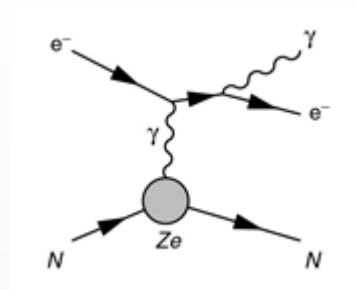
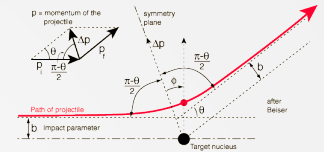
Cząstki naładowane (II)



- ❑ Cząstki naładowane mogą podlegać również innym typom oddziaływania prowadzących do strat energii, nie mniej jednak straty jonizacyjne **zachodzą zawsze!**
- ❑ Różne procesy konkurencyjne zależą zwykle od typu cząstek oraz ich energii
 - ❑ Dla mionów, straty jonizacyjne dominują wyraźnie do energii około 100 GeV
 - ❑ Dlatego miony jako jedyne cząstki stabilne posiadają znaczne możliwości penetracyjne (dziesiątki metrów żelaza)
 - ❑ Można to wykorzystać w szybkiej i niezawodniej identyfikacji mionów – niezwykle ważne dla systemów wyzwalań

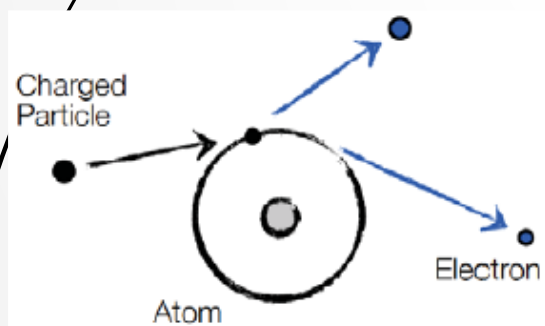
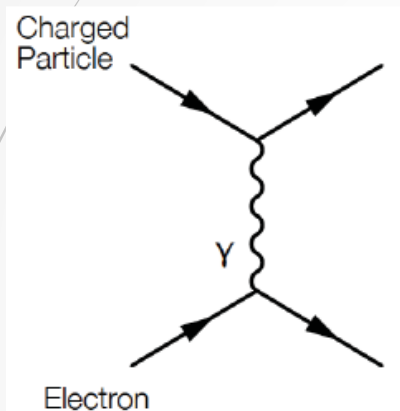
Elektrony

- ❑ Dla niskich energii elektrony, podobnie jak ciężkie cząstki naładowane, tracą energię głównie na drodze jonizacji
- ❑ Powyżej, tak zwanej, energii krytycznej głównym mechanizmem strat energii jest **promieniowanie hamowania** (bremsstrahlung)
- ❑ W zasadzie, elektrony „zawsze są relatywistyczne” i zakładamy, że dominującym sposobem oddziaływania z materią jest dla nich promieniowanie hamowania
- ❑ Inne cząstki naładowane również podlegają temu procesowi, ale jest on **silnie tłumiony przez masę cząstek** (m_e^2 / m_μ^2)

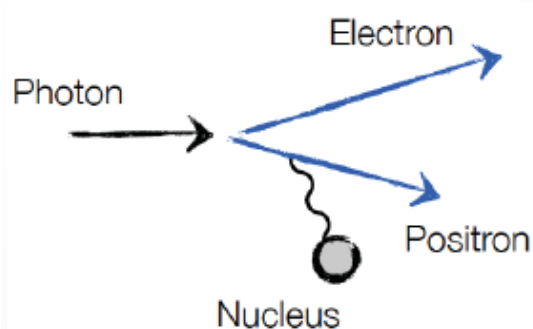
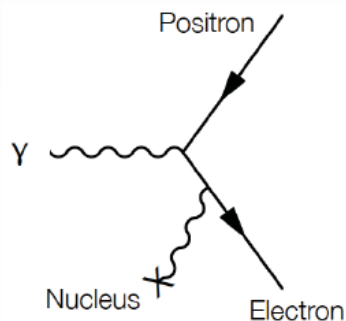


Oddziaływania elm

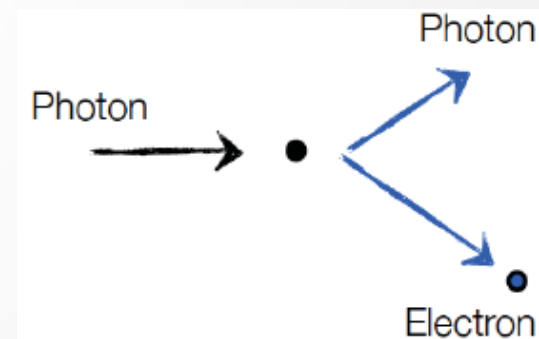
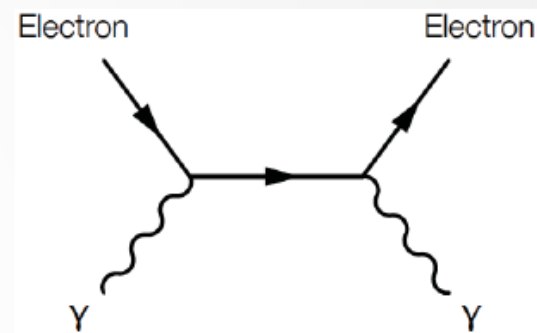
□ Znane procesy umożliwiające detekcję:



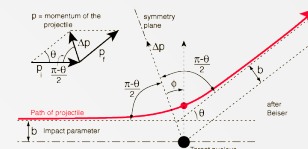
Jonizacja



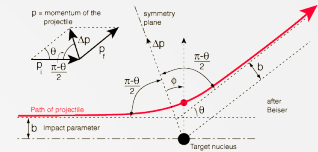
Kreacja par



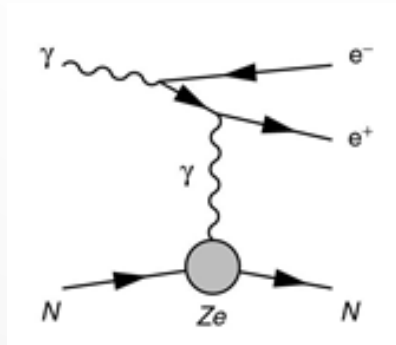
Rozpraszanie Comptona



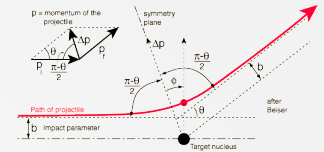
Fotony



- ❑ **Trzy** główne sposoby oddziaływania – silna zależność od energii
 - ❑ **Efekt fotoelektryczny** dla fotonów o energiach $\sim keV$ (maksymalna energia wiązań elektronów w atomach)
 - ❑ **Rozproszenie Compton'a** (kwazi-stacjonarny elektron) $\sim MeV$
 - ❑ **Dysocjacja** do pary elektron-pozyton (**kreacja par**) dominuje dla fotonów o energiach $> 10 MeV$
- ❑ Uwaga – dysocjacja fotonu może zajść jedynie w polu elektrostatycznym jądra atomowego – zasady zachowania, energia odrzutu
- ❑ Oddziaływanie elektronów i fotonów (o dużych energiach) jest opisane przez tzw. **długość radiacyjną** X_0 ($\sim cm$)

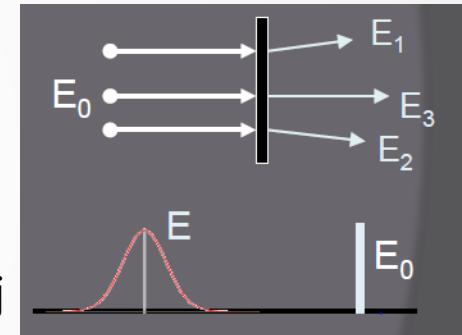


Procesy oddziaływania



❑ Cząstki przechodząc przez materiał oddziałują z wieloma atomami jednocześnie:

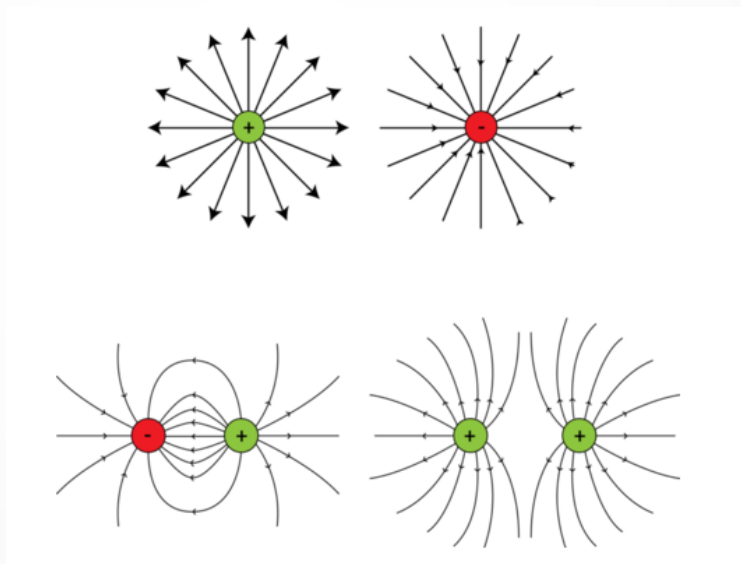
- każdy atom ma wiele elektronów,
- każdy elektron zajmuje różny poziom energetyczny i ma różne energie jonizacji i wzbudzenia,
- każde zderzenie ma inne prawdopodobieństwo przekazania konkretnej porcji energii



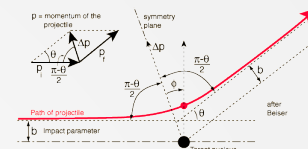
$$E = E_0 - \sum_i \Delta E_i = E_0 - \sum_i \left(\frac{\Delta E_i}{\Delta x} \right) \Delta x = E_0 - \int \frac{dE}{dx} dx$$

- ❑ Nie jest możliwe wyznaczenie strat energii licząc straty indywidualnych zdarzeń.
- ❑ Można za to policzyć średnie straty energii na jednostkę drogi przebytej przez cząstkę w materiale.

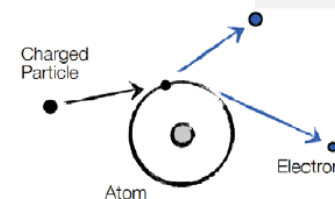
CZĘŚĆ I. Cząstki naładowane



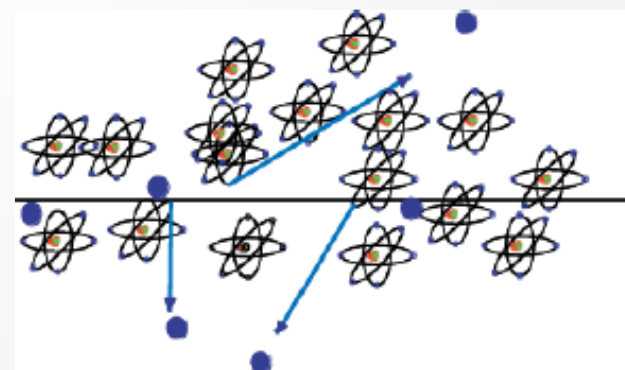
Cząstki naładowane, „ciężkie” (I)



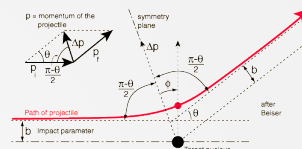
- ❑ Ciężkie cząstki przechodząc przez materię tracą energię poprzez jonizację i oddziaływania silne z jądrami atomowymi
- ❑ Naładowana cząstka przechodząc przez materię pozostawia za sobą:
 - Wzbudzone atomy,
 - Pary elektron-jon (gazy),
 - Pary elektron-dziura (ciała stałe)
- ❑ Ciągłe oddziaływanie E.M. z **chmurami elektronowymi** atomów materiału czynnego detektora
 - Oddziaływania z jądrami (rozpraszanie typu Rutherford'a) możliwe, ale w praktyce zupełnie **zaniedbywalne**
 - Odpowiedź detektorów cząstek naładowanych, mierzona przez elektronikę odczytu, **opiera się na ich oddziaływaniu z elektronami**



- ❑ Każda z naładowanych cząstek penetrujących materiał detektora „czuje” w każdym momencie **wiele elektronów**



Cząstki naładowane, „ciężkie” (II)



- ❑ W zależności od odległości (cząstka - elektron) możliwe jest
 - Przeniesienie elektronu na wyższą powłokę – **wzbudzenie atomu** materiału absorbującego.
 - **fotony** emitowane przez wzbudzone atomy mogą być rejestrowane przez detektory fotonów.
 - Usunięcie elektronu z atomu – **jonizacja**
 - Jeżeli w detektorze będzie pole elektryczne, **elektrony i jony** z jonizacji mogą być zbierane przez elektrody i przetwarzane przez układy elektroniczne.
- ❑ Zarówno wzbudzenie jak i jonizacja zachodzą **kosztem energii** cząstki naładowanej, co skutkuje również **zmniejszeniem jej prędkości**.

Można pokazać, że **maksymalna energia** przekazana elektronowi w jednym akcie rozpraszania to:

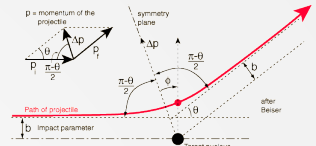
$$\Delta E_{MAX} = 4E_I \frac{m}{M}$$

Masa elektronu

Masa cząstki
penetrującej

Energia początkowa
cząstki penetrującej

Cząstki naładowane, „ciężkie” (III)



Przykład

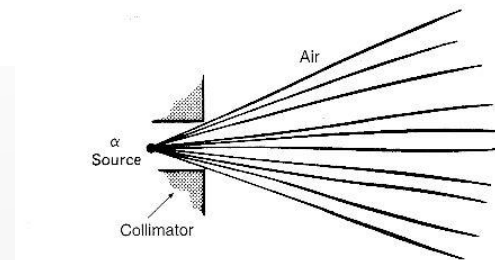
Jeżeli promieniowanie penetrujące składa się z cząstek α , wówczas mamy:

$$\Delta E_{MAX}^{\alpha} = 4E_I^{\alpha} \frac{m_{e^{-}}}{M_{\alpha}} = 4E_I^{\alpha} \frac{0.5 [MeV]}{4000 [MeV]}$$

$$\frac{\Delta E_{MAX}^{\alpha}}{E_I^{\alpha}} = \frac{1}{2000}$$

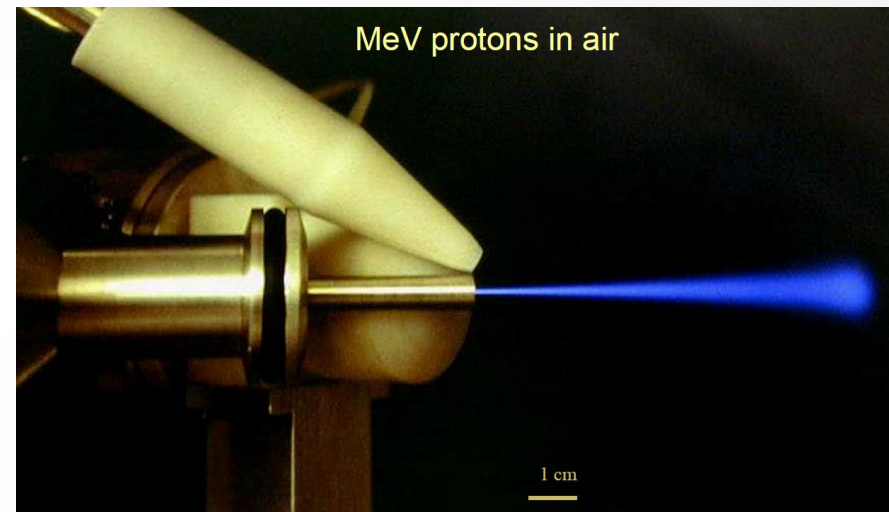
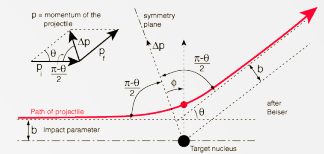
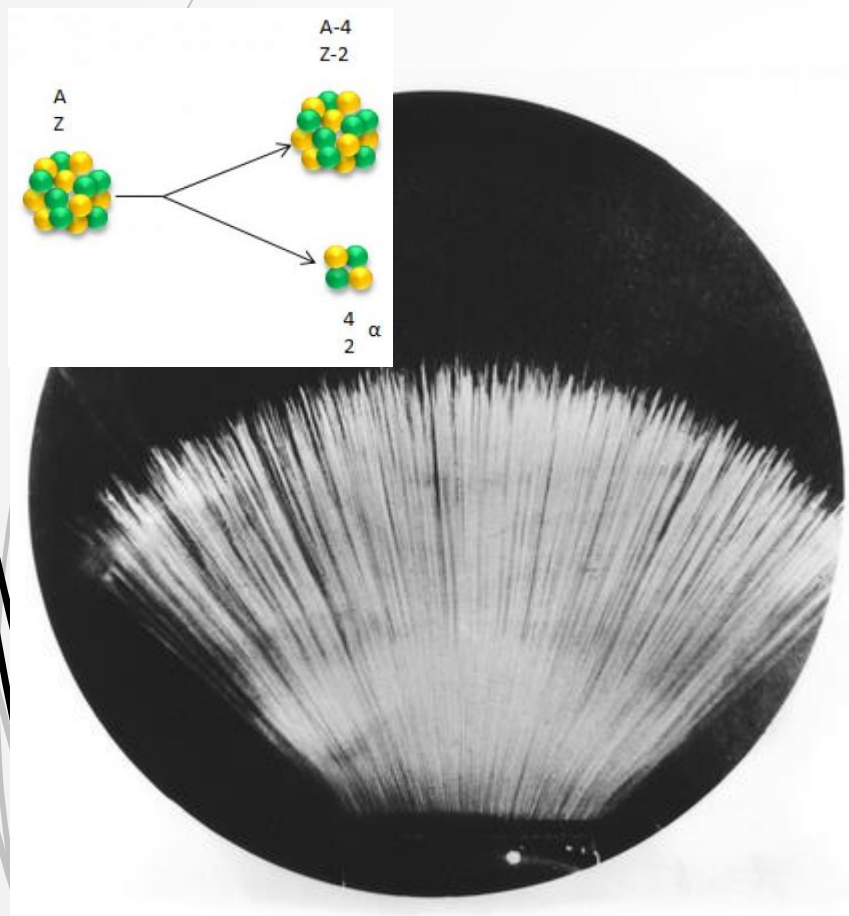
Ciężka naładowana cząstka traci niewiele energii w pojedynczym zderzeniu i nie zmienia znacząco kierunku. Wyjaśnia to podstawowe fakty dotyczące oddziaływania ciężkich cząstek naładowanych z materią:

- ☐ Trajektorie cząstek są praktycznie liniowe
- ☐ Zmniejszanie prędkości (energii) odbywa się w sposób ciągły, aż do całkowitego zatrzymania
- ☐ Zasięg cząstek naładowanych jest praktycznie stały i zależy od materiału oraz energii początkowej



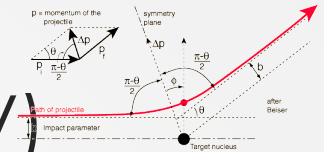
Detekcja cząstek α

Poniżej – ślady wysokoenergetycznych cząstek α emitowanych przez izotop toru, obserwowane w komorze mgłowej



zasięg protonów w powietrzu

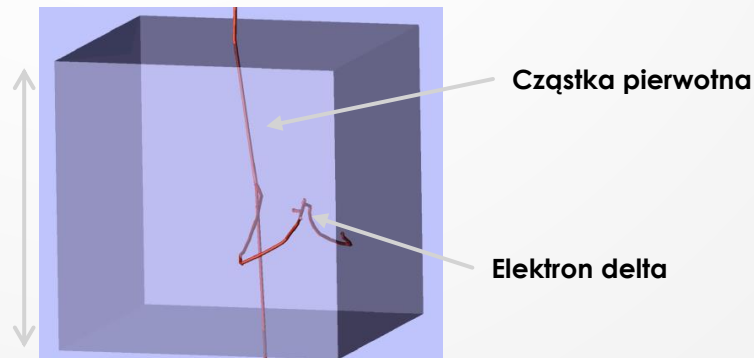
Cząstki naładowane, „ciężkie” (IV)



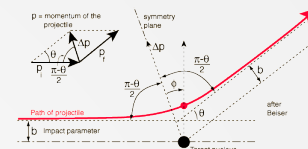
- ❑ Dość często zdarza się, że wybity elektron posiada wystarczająco wysoką energię i sam jest zdolny do jonizacji materiału detektora.
- ❑ Elektrony takie nazywamy „**elektronami delta**” (delta rays) – stanowią one **pośredni** sposób przekazywania energii pomiędzy cząstkami promieniowania oraz medium pochłaniającym.
- ❑ Zasięg elektronów delta jest zawsze dużo mniejszy niż pierwotnej cząstki, oznacza to, że efekty jonizacyjne związane z nimi zachodzą **blisko trajektorii** cząstki pierwotnej.
- ❑ W typowych warunkach **większość energii traconej** przez cząstki naładowane związana jest właśnie z emisją elektronów delta.

Symulacja elektronów delta
w kryształach krzemu

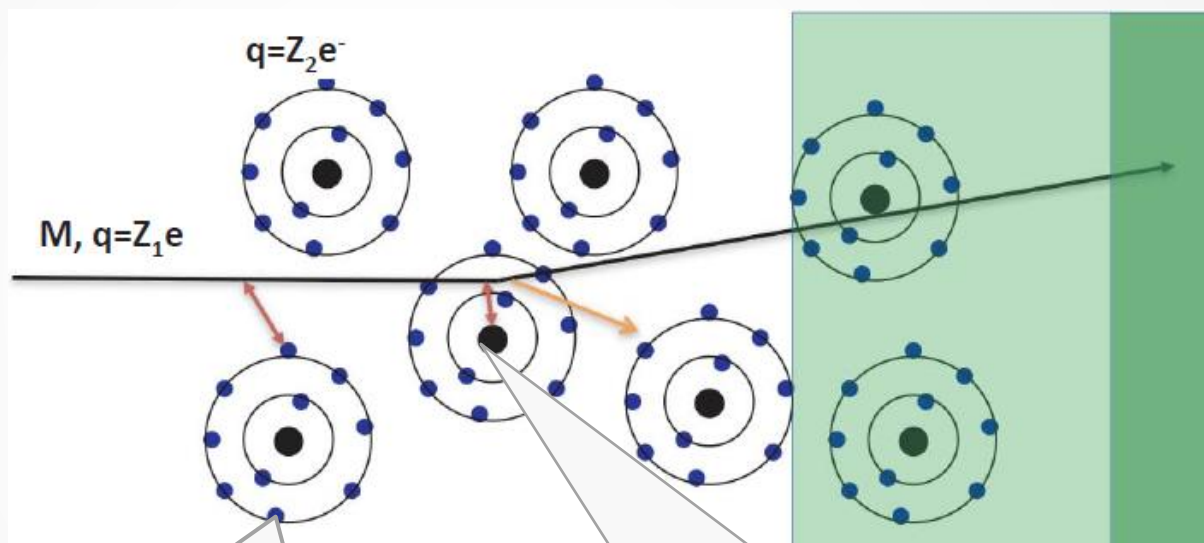
~ 50 nm



Oddziaływania EM



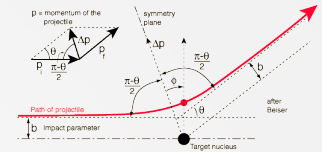
- Większość procesów umożliwiających wykrycie cząstki są to procesy **elektromagnetyczne**



Oddz. z **elektronami atomowymi**.
Wchodząca cząstka traci energię,
pozostawiając atomy **wzbudzone lub**
zjonizowane

Oddz. z **jądrami atomowymi**.
Cząstki są **odchylone** w wyniku wielokrotnych
„miękkich” rozpraszających oraz (rzadko) z jądrem
Zmiana kierunku jest źródłem **promieniowania**
hamowania (bremsstrahlung)

„Stopping power” (I)



Strata energii, S , cząstki naładowanej przechodzącej przez materiał detektora może być wyrażona w formie różniczkowej:

$$S = - \frac{dE}{dx}$$

elementarna strata energii
cząstki pierwotnej w danym
medium

„minus” reprezentuje
stratę energii

Element długości trajektorii
cząstki pierwotnej w medium
absorpcyjnym

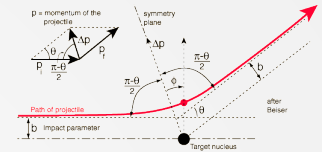
- Stopping power jest to wartość oczekiwana szybkości strat energii na jednostkę długości.

Jednostka: $[S] = \text{MeV} \cdot \text{cm}^{-1}$

Mass Stopping Power: stopping power podzielona przez gęstość materiału:

$$S = - \frac{dE}{\rho dx} \quad [\text{MeV} \cdot \text{cm}^{-1} \cdot \text{g}^{-1}]$$

„Stopping power” (II)



Strata energii, S , cząstki naładowanej przechodzącej przez materiał może być spowodowana:

- zderzeniami (collision stopping power): suma strat od miękkich i twardych oddziaływań;
- promieniowaniem (radiative stopping power) – głównie bremsstrahlung

Przybliżone równanie opisujące „szybkość” utraty energii przez cząstkę naładowaną przechodzącą przez ośrodek z prędkością $v = \beta c$ w procesach wzbudzeń i jonizacji ośrodka nazywamy **formułą Bethe'go**:

$$-\frac{dE}{dx} = NZ \frac{4\pi e^4 z^2}{m_e v^2} \left[\ln \left(\frac{2v^2 m_e}{I} \right) - \ln(1 - \beta^2) - \beta^2 \right]$$

ładunek cząstki jonizującej - ze

prędkość cząstki pierwotnej

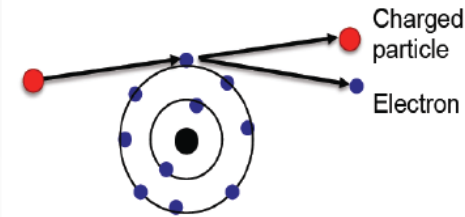
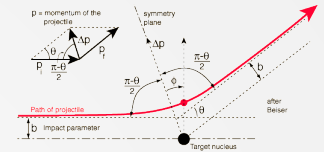
koncentracja atomów absorbera $N = \frac{\text{liczba atomów}}{\text{objętość}}$

liczba atomowa materiału absorbującego

średnia energia wzbudzenia/ionizacji

„Stopping power” (II)

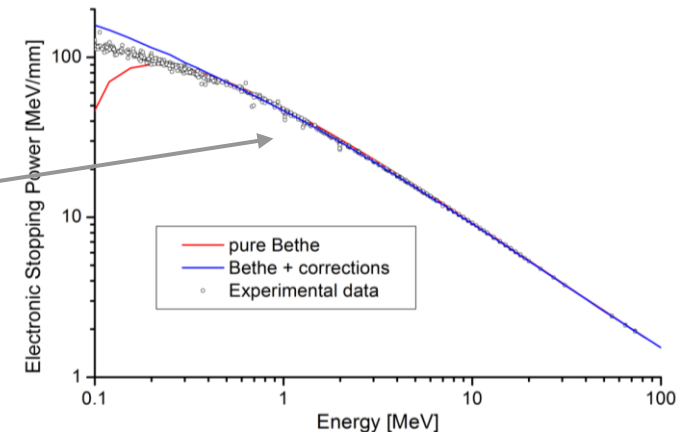
$$-\frac{dE}{dx} = NZ \frac{4\pi e^4 z^2}{v^2 m_e} \left[\ln \left(\frac{2v^2 m_e}{I} \right) - \ln(1 - \beta^2) - \beta^2 \right]$$



❑ Oddziaływanie jest zdominowane przez elastyczne zderzenia z elektronami.

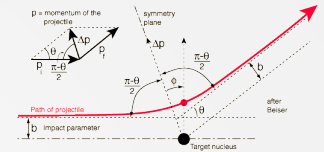
❑ Dla cząstek nierelatywistycznych tylko **pierwszy czynnik** przed nawiasem kwadratowym jest **znaczący** (zaniedbujemy β)

❑ Nawias kwadratowy zmienia się bardzo wolno wraz ze zmianą energii – oznacza to, że ogólne własności tej formuły wynikają z zachowania się czynnika przed nawiasem



Zadanie: policzyć *mass collision stopping power* w wodzie dla protonów o energii 1 MeV;
projekt: zbadać zależność BB od rodzaju ośrodka, prędkości, energii.

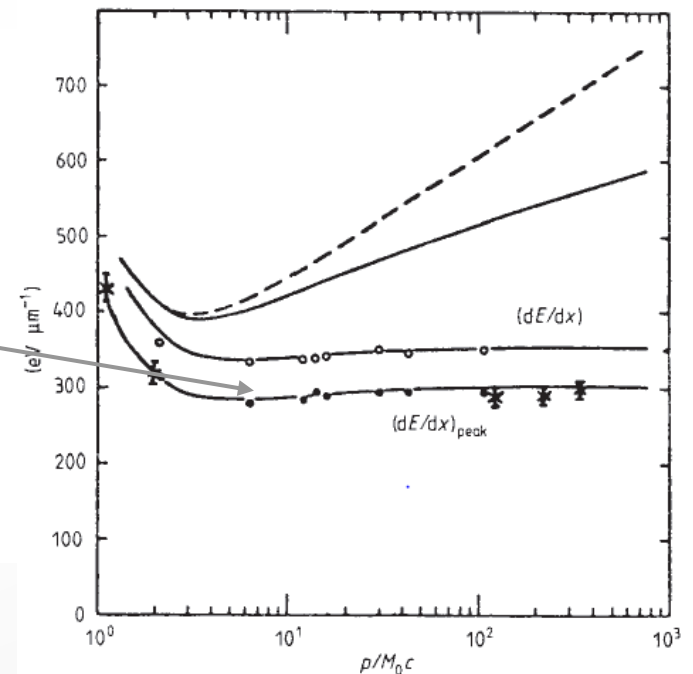
„Stopping power” (IIa)



$$-\frac{dE}{dx} = NZ \frac{4\pi e^4 z^2}{v^2 m_{e^-}} \left[\ln \left(\frac{2v^2 m_{e^-}}{I} \right) - \ln(1 - \beta^2) - \beta^2 \right]$$

□ Poprawki:

- nie wszystkie elektrony (zwłaszcza z wewnętrznych poziomów) biorą udział w oddziaływaniu, bo np. elektrony z powłoki K mają wyższą prędkość niż te z dalszych powłok (**shell effect**)
- atomy bliskie trajektorii ekranują dalsze (**density effect**)

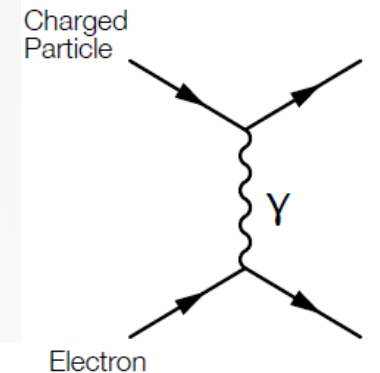
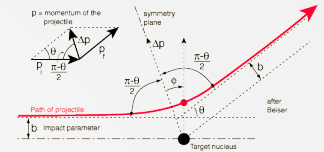


„Stopping power” (III)

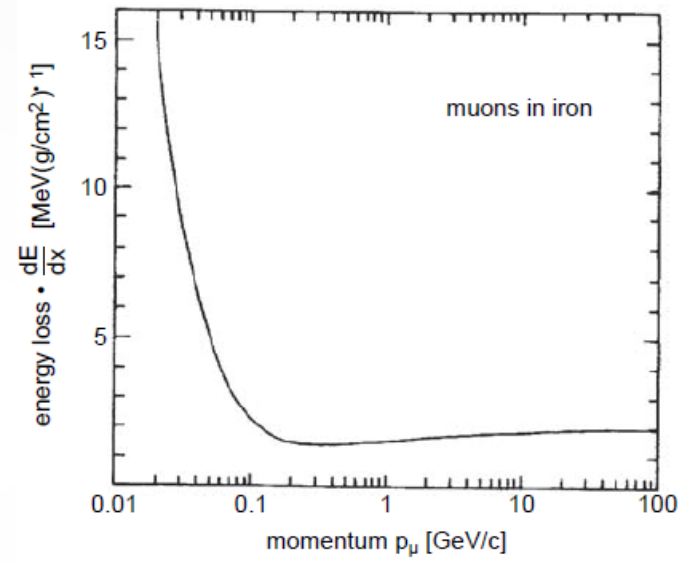
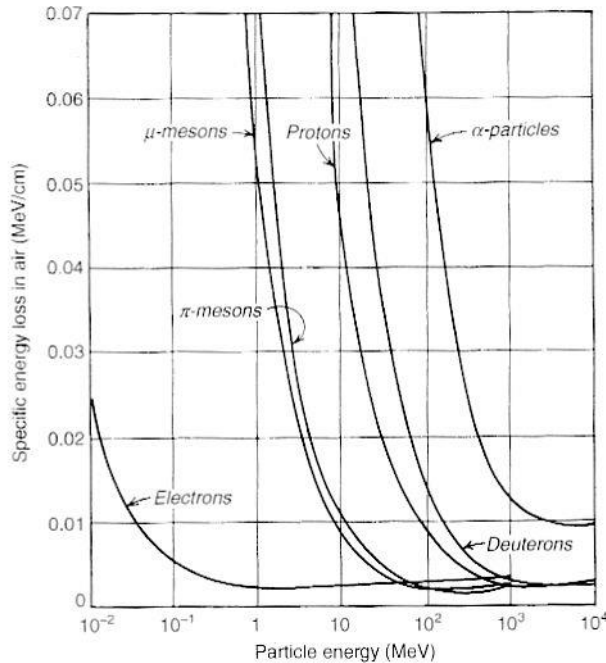
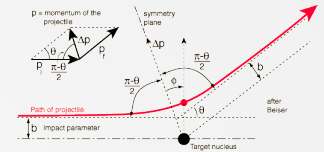
$$-\frac{dE}{dx} = NZ \frac{4\pi e^4 z^2}{v^2 m_{e^-}} \left[\ln \left(\frac{2v^2 m_{e^-}}{I} \right) - \ln(1 - \beta^2) - \beta^2 \right]$$

- ❑ Oddziaływanie jest zdominowane przez **elastyczne zderzenia z elektronami!**

- ❑ Strata energii zmienia się proporcjonalnie do $\frac{1}{v^2}$
- ❑ Wolniejsza cząstka „spędza” **więcej czasu** w pobliżu danego elektronu – zwiększa to przekaz (stratę) energii
- ❑ Dla cząstek o tej **samej prędkości** strata energii zależy wyłącznie od **ładunku** cząstki pierwotnej (jonizacja dla cząstek $\alpha \gg$ niż dla p)
- ❑ Straty energii zależą również od rodzaju medium, które absorbuje promieniowanie
 - własności danego materiału dane są przez iloczyn **NZ**, który reprezentuje efektywnie jego **gęstość elektronową**
 - **S** rośnie dla materiałów o dużej liczbie atomowej i gęstości



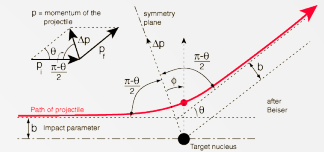
„Stopping power” (IV)



Straty energii cząstek naładowanych w funkcji ich energii (pomiar)

- Dla energii powyżej $\sim 1000 \text{ MeV}$ wartości $\frac{dE}{dx}$ praktycznie **stałe** – minimalnie jonizujące cząstki (MIP)

„Stopping power” (V)



W zastosowaniach HEP powszechnie używa się zmodyfikowanej formuły Bethe'go, zwaną równaniem Bethe'go-Bloch'a:

$$-\frac{dE}{dx} = K Z^2 \frac{Z}{A} \frac{1}{\beta^2} \left[\frac{1}{2} \ln \left(\frac{2m_e c^2 \beta^2 \gamma^2 T_{MAX}}{I^2} \right) - \beta^2 - \frac{\delta}{2} \right]$$

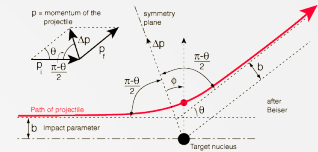
$$K = 4\pi N_A r_e^2 m_e^2 c^2 = 0.1535 \text{ MeV cm}^2/\text{g}$$

Nowości to:

- ☐ Czynniki Lorentza γ
- ☐ Poprawka „gęstościowa” na straty jonizacyjne, istotna dla cząstek ultra-relatywistycznych
- ☐ T_{MAX} - maksymalna energia kinetyczna przekazana elektronowi
- ☐ Jednostki w jakich mierzymy straty energii - $\left[\frac{\text{MeV} \cdot \text{cm}^2}{\text{g}} \right]$

Powyższy zapis używany jest, aby podkreślić, że straty energii cząstek naładowanych (o tym samym ładunku) są jedynie funkcją β (dla cząstek o najwyższych energiach formuła powyższa zaczyna również zależeć od masy cząstki jonizującej – dE/dx umożliwia identyfikację cząstek!)

„Stopping power” (VI)

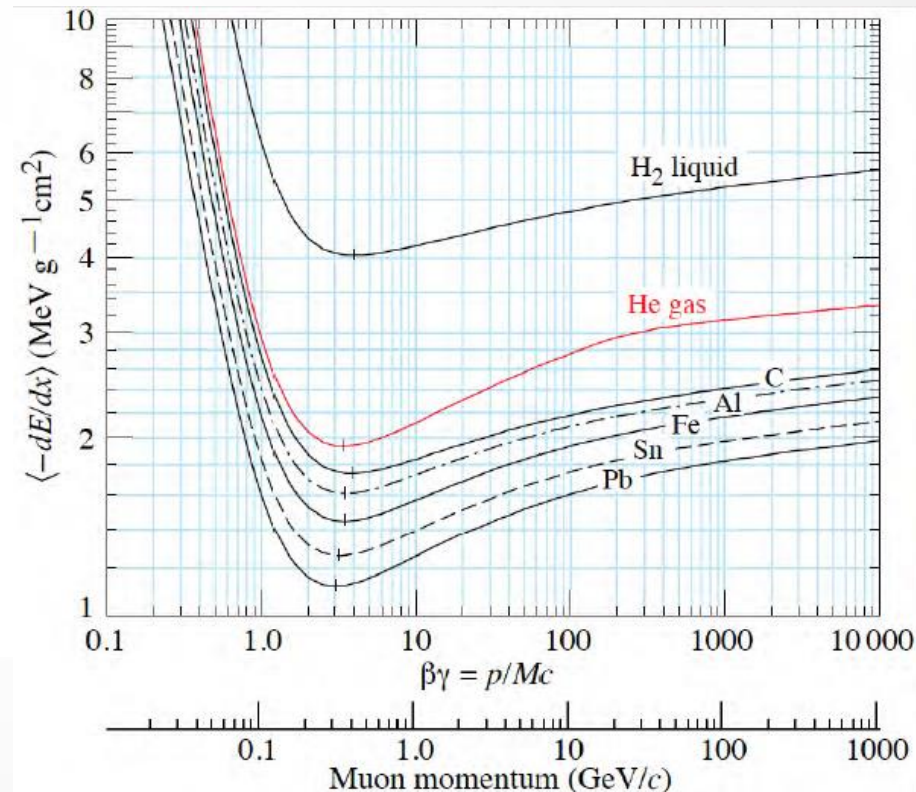


$$-\frac{dE}{dx} = K Z^2 \frac{1}{\beta^2} \left[\frac{1}{2} \ln \left(\frac{2m_e c^2 \beta^2 \gamma^2 T_{MAX}}{I^2} \right) - \beta^2 - \frac{\delta}{2} \right]$$

$$-\frac{dE}{dx} \propto \frac{Z^2}{\beta^2} \ln(\alpha \beta^2 \gamma^2)$$

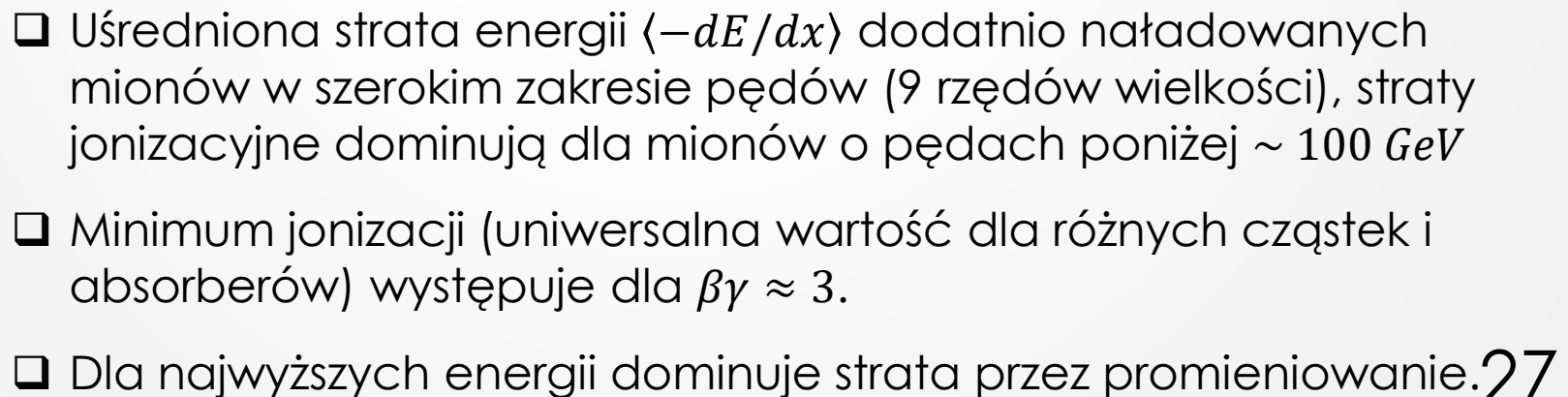
- ❑ Szybki spadek przy niskich energiach $\propto \frac{1}{\beta^2}$
- ❑ Szerokie minimum w zakresie $3 \leq \beta\gamma \leq 4$,
- ❑ MIP – cząstka z dE/dx w pobliżu minimum (dlaczego mion?)
- ❑ MIP we wszystkich ośrodkach (z wyjątkiem wodoru) traci tyle samo energii: 1-2 MeV/(g/cm²)

$$-\frac{dE}{dx} \min \approx 1 - 2 \frac{\text{MeV}}{\text{g/cm}^2}$$

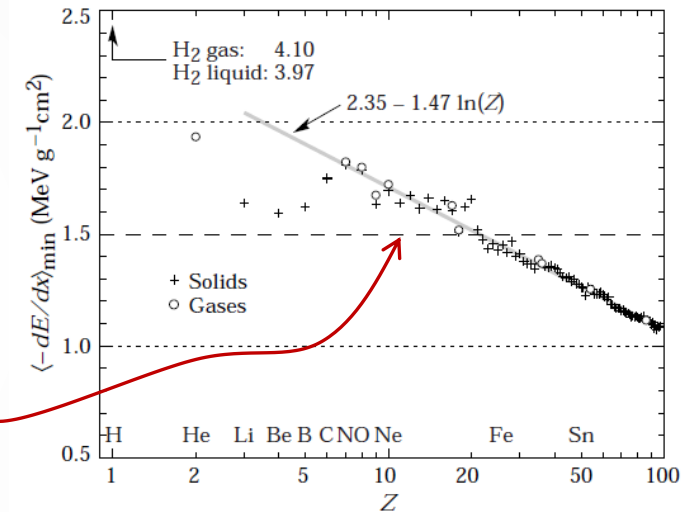
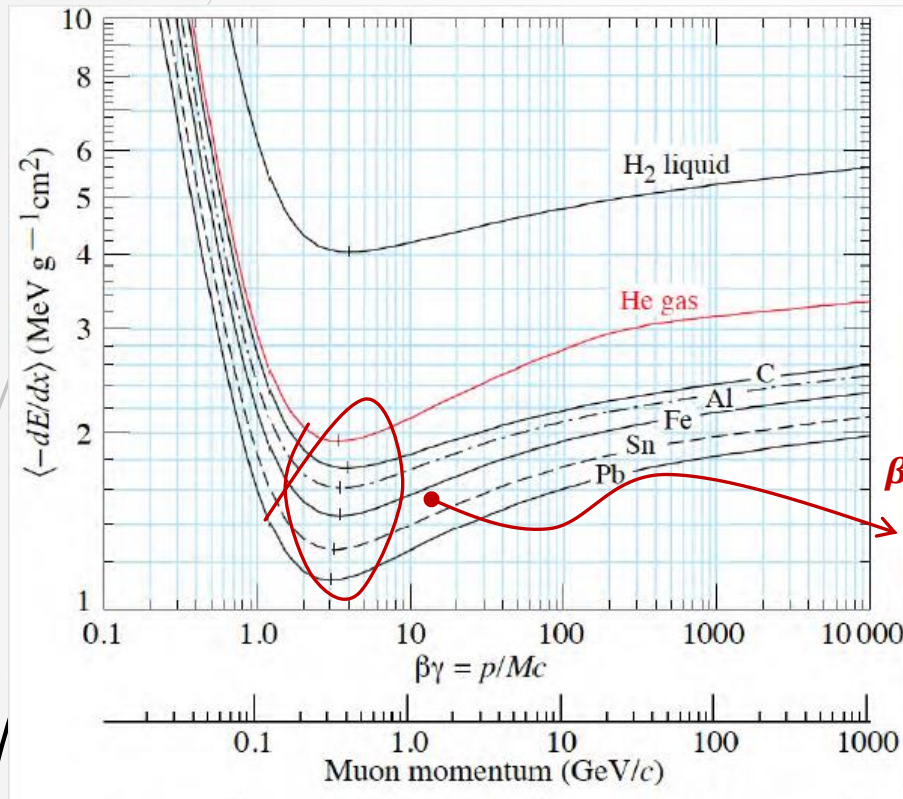
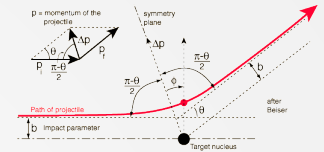


- Straty energii rosną dla $\gamma > 4$ (wzrost logarytmiczny)

Diagram illustrating the geometry of a projectile's path relative to a target nucleus. The diagram shows a projectile's initial path (red line) and its deflected path (red line) after a collision. The impact parameter b is the perpendicular distance from the initial path to the target nucleus. The deflection angle θ is the angle between the initial and final paths. The scattering angle ϕ is the angle between the initial path and the symmetry plane. The angle $\pi - \theta/2$ is shown between the initial path and the symmetry plane. The angle $\pi - \phi/2$ is shown between the final path and the symmetry plane. The diagram also shows the initial momentum p and the change in momentum Δp .



„Stopping power” (VIII)



- ❑ Poza przypadkiem ciekłego wodoru, cząstki o podobnych **prędkościach** charakteryzują się podobnymi **stratami energii** bez względu na absorber!